

برآورد تأثیر رس در پتانسیل رمبندگی خاک در روش‌های مختلف نفوذ آب

جواد محمودی (دانشجوی دکتری)

رضا پورحسینی* (دانشیار)

دانشکده‌ی مهندسی عمران، دانشگاه یزد

مهمنگی عمران شریف، (پیز ۲۰۱۶) دوری ۳، شماره ۳، صص. ۱۱۱-۱۱۳، (پژوهشی)

خاک‌های رمبنده در زمان خیس شدن، نشسته‌های قابل توجهی را تجربه می‌کنند. میزان رس به عنوان یک عامل مهم در رفتار خاک رمبنده در نظر گرفته می‌شود. آب از منابع مختلف وارد خاک می‌شود، اما آزمایش‌های موجود برای اندازه‌گیری پتانسیل رمبندگی، قابلیت مدل‌سازی نفوذ آب در خاک را ندارند. در مطالعه‌ی حاضر، از دستگاهی استفاده شده است که نحوه‌ی ورود آب به خاک را شبیه‌سازی می‌کند. نتایج نشان می‌دهند که در همه‌ی آزمایش‌ها با افزایش میزان رس، پتانسیل رمبندگی افزایش یافته است؛ اما میزان افزایش یکسان نبوده است. میزان افزایش پتانسیل رمبندگی، در آزمایش‌های ادومتر بیشتر از آزمایش‌های با شبیه‌سازی الگوی نفوذ آب بوده است. در بین الگوهای مختلف نفوذ آب در خاک، با افزایش $1/9\%$ رس، بیشترین افزایش پتانسیل رمبندگی مربوط به نفوذ آب از بالا به صورت نقطه‌ی ($C_p = 4/79$) و کمترین افزایش مربوط به نفوذ آب از پایین به صورت گسترد (ه) ($C_p = 3/69$) بوده است. اما با افزایش 23% رس، بیشترین افزایش مربوط به نفوذ آب از بالا به صورت گسترد (ه) ($C_p = 8/62$) و کمترین افزایش مربوط به نفوذ آب از پایین به صورت گسترد (ه) ($C_p = 7/8$) بوده است.

واژگان کلیدی: درصد رس، پتانسیل رمبندگی، الگوی نشت آب، دستگاه آزمایشگاهی، خاک رمبنده.

۱. مقدمه

خاک رمبنده در حالت خشک از خود پایداری خوبی نشان می‌دهد، اما وقتی آب وارد خاک رمبنده می‌شود، دچار نشسته‌های ناگهانی و قابل توجه می‌شود. رفتار خاک رمبنده باعث شده است که در سال‌های اخیر، مطالعات زیادی بر روی شناسایی، بررسی رفتار و بهسازی آن انجام شود. خاک‌های رمبنده بیش از 10% از وسعت خشکی دنیا را شامل می‌شوند. کشورهایی مانند چین، روسیه، ایالات متحده‌ی آمریکا، آلمان، آرژانتین، فرانسه و نیوزلند بیشترین نهشته‌های رمبنده را دارند.^[۵-۷]

ویژگی‌های شاخص خاک‌های رمبنده، عبارت از: وزن مخصوص کم، ساختار باز، پوکی بالا، نهشته‌ی جوان، درصد رطوبت کم و پیوند ضعیف بین ذرات هستند.^[۸-۱۰] رمبندگی و مشکلات مرتبط با آن، مانند: نشست تفاضلی ترک‌های سطح زمین، و زمین‌لغزش باعث ایجاد خسارت در زیرساخت‌های قرار گرفته بر روی نهشته‌های رمبنده شده است، حتی در بعضی از موارد از دست رفت جان انسان نیز گزارش شده است.^[۱۱] ساخت و ساز ساختمان‌ها بر روی خاک‌های رمبنده، که معمولاً در نقاط خشک و نیمه‌خشک قرار دارند، نیازمند پایدارسازی یا بهسازی خاک‌های رمبنده است.^[۱۲] مهم‌ترین مسئله در برخورد با خاک‌های رمبنده، پیش‌بینی رفتار آنها در زمان خیس شدن است. در مطالعات مربوط به خاک رمبنده از پارامتر پتانسیل رمبندگی برای پیش‌بینی نشسته‌های آن در زمان خیس شدن استفاده می‌شود. پتانسیل رمبندگی، یک شاخص از میزان تغییر حجم کل یک خاک است، که در اثر بارگذاری و خیس شدن از خود نشان می‌دهد. در نشست یک‌بعدی، پتانسیل رمبندگی با استفاده از تغییر ضخامت نمونه پس از خیس شدن و اعمال بار محاسبه می‌شود. در

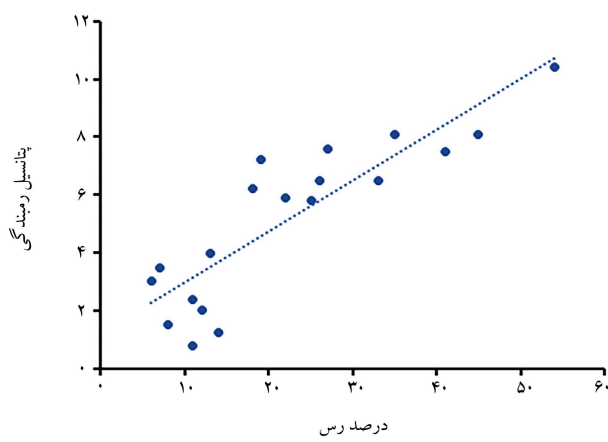
* نویسنده مسئول

تاریخ: دریافت ۱۴۰۱/۹/۲۱، اصلاحیه ۱۱/۱۶، پذیرش ۱۱/۲۵، ۱۴۰۱/۱.

استناد به این مقاله:

محمودی، جواد و پورحسینی، رضا، ۱۴۰۲. برآورد تأثیر رس در پتانسیل رمبندگی خاک در روش‌های مختلف نفوذ آب. مهندسی عمران شریف، ۳(۳۹)، صص. ۱۱۱-۱۱۳.

DOI:10.24200/J30.2023.61519.3179


 شکل ۱. نتایج مطالعات الایل و همکارانش (۱۹۹۴).^[۲۷]

بوده است. برای درصد ریزدانه افزایش یافته (۲۰ و ۳۰ درصد)، میران رمیندگی طور قابل ملاحظه‌ی افزایش یافته است.^[۱۹] لاؤن^۶ و همکارانش (۱۹۹۲)، تأثیر میران رس در نشستهای ناشی از خیس شدن را بررسی کرده و دریافته‌اند که در خاک ماسه - رس، پتانسیل رمیندگی در ابتدا با افزایش درصد رس افزایش می‌باشد. با این حال، زمانی که درصد رس در خاک غالب می‌شود (درصد رس بیش از ۴۰٪)، تورم رس، رفتار خاک را کنترل می‌کند و باعث کاهش نشست می‌شود. در خاک سیلت - رس، اثر درصد رس شبیه به خاک ماسه - رس بوده است، با این تفاوت که درصد رس بحرانی حدود ۱۵ تا ۲۵ درصد بوده است. در خاک ماسه اوتاوا - کاولین، بیشترین رمیندگی برای درصد رس بین ۱۲ تا ۱۶ درصد اتفاق افتاده و برای درصد رس ۵ تا ۲۵ درصد، مخلوط ماسه اوتاوا - کاولین، بیشتر از دو نمونه خاک دیگر چار رمیندگی شده است.^[۱۸]

الایل^۷ و همکارانش (۱۹۹۴)، تأثیر درصد رس را در رمیندگی بررسی کرده‌اند. مطالعات ایشان، شامل ۲۵ نمونه خاک با درصد ریزدانه (۱۵، ۲۵، ۳۵، ۴۵ و ۵۵٪) و نسبت رس به سیلت (۱، ۱۰، ۱۱، ۱۳ و ۳۱) بوده است. آنها از ادئومتر دولب برای بررسی رفتار نمونه‌های اخیر استفاده کرده‌اند و یافته‌ی اصلی آنها، یک رابطه‌ی خطی بین بیشترین رمیندگی و درصد رس بوده است، که در شکل ۱ مشاهده می‌شود. همچنین ایشان مشاهده کردند که نسبت رس به سیلت بالا، رمیندگی بیشتری در مقایسه با نسبت رس به سیلت پایین ایجاد می‌کند.^[۲۶]

کیم^۸ و همکارانش (۲۰۰۸)، رفتار رمیندگی لس ایندیانا را برای استفاده به عنوان خاک‌ریز در جاده بررسی کرده‌اند. خاک به دو صورت طبیعی و همراه با اضافه کردن ۵ تا ۱۰ درصد رس آزمایش شده است. برنامه‌ی آزمایشگاهی آنها شامل: آزمایش تراکم و آزمایش ادئومتر تک (اشباع در ۱۰۰ کیلوپاسکال) بر روی خاک‌های با ۴ میران مختلف رس (۱۰، ۲۰، ۲۵ و ۳۰ درصد) بوده است. آنها دریافتند که پتانسیل رمیندگی با کاهش درصد رس از ۳۰ تا ۱۰ درصد، افزایش یافته است.^[۲۲]

آب می‌تواند از منابع مختلفی، مانند: بارندگی، سیلان‌ها، آبیاری درختان، نشت و شکست لوله‌های انتقال آب، بالا آمدن سطح آب زیرزمینی، نشت فاضلاب و... وارد خاک رمیندگی شود.^[۲۳] در مطالعاتی که تا به امروز بر روی تأثیر میران رس در خاک رمیندگی انجام گرفته است، از دستگاه ادئومتر استفاده شده است، که در آن، نمونه از بالا و پایین به صورت هم‌زمان اشباع می‌شود. در واقعیت، این روش اشباع کردن، الگوی مناسبی برای مدل‌سازی هیچ‌کدام از منابع نفوذ آب به خاک رمیندگی نیست. در مطالعه‌ی حاضر، با استفاده از دستگاهی با قابلیت مدل‌سازی الگوهای

 جدول ۱. طبقه‌بندی شاخص رمیندگی.^[۱۶]

شاخص رمیندگی	درجه‌ی رمیندگی
ندارد	۰
اندک	۰/۱-۲
متوسط	۲/۱-۶
تا حدی شدید	۶/۱-۱۰
شدید	> ۱۰

معادله‌ی ۱، یک تعریف مهندسی از پتانسیل رمیندگی با استفاده از تغییرات نسبت تخلخل ارائه شده است:^[۱۴]

$$C_p = \frac{\Delta e}{1 + e} \times 100 = \frac{\Delta h}{h_0} \times 100 \quad (1)$$

که در آن، C_p پتانسیل رمیندگی، Δe تغییر نسبت تخلخل ناشی از خیس شدن، e نسبت تخلخل اولیه، Δh تغییر ارتفاع نمونه ناشی از خیس شدن و h_0 ارتفاع اولیه‌ی نمونه است.

پتانسیل رمیندگی می‌تواند با استفاده از روش‌های مختلفی اندازه‌گیری شود، که مهم‌ترین آنها عبارت از: روش‌های آزمایشگاهی، روش‌های صحرابی و استفاده از روابط بین پتانسیل رمیندگی و سایر مشخصات خاک است.^[۱۵]

متداول‌ترین روش‌های اخیر، استفاده از آزمایش ادئومتر و آزمایش سه‌محوری است. دو نوع آزمایش ادئومتر برای تعیین پتانسیل رمیندگی استفاده می‌شود: آزمایش ادئومتر تک^۱ و آزمایش ادئومتر دوگانه^۲.

در استاندارد ASTM D ۵۳۳۳، روش اندازه‌گیری پتانسیل رمیندگی خاک‌ها با استفاده از آزمایش ادئومتر تک، تشریح و پتانسیل رمیندگی^۳ (I_c) معروف شده است، که برابر با میران رمیندگی خاک است، که در هر سطح تنفسی می‌تواند با استفاده از معادله‌ی ۲ محاسبه شود.^[۱۶]

$$I_c = \left[\frac{d_f - d_i}{h_0} \right] 100 \quad (2)$$

که در آن، I_c پتانسیل رمیندگی، d_f قراتت گیج بعد از خیس شدن، d_i قراتت گیج قبل از خیس شدن و h_0 ارتفاع اولیه‌ی نمونه است. در ادامه در استاندارد اخیر، شاخص رمیندگی^۴ (I_e) معرفی شده است، که میران پتانسیل رمیندگی در تشن اعمالی مرجع ۲۰۰ kPa را نشان می‌دهد، که براساس مقادیر شاخص رمیندگی، درجه‌ی رمیندگی نمونه مطابق جدول ۱ طبقه‌بندی می‌شود.^[۱۶]

پارامترهای زیادی می‌توانند در رفتار خاک‌های رمیندگی بگذارند. پارامترهایی که تأثیر آنها در برخی مطالعات بررسی شده است، شامل: شرایط اولیه‌ی خاک (وزن مخصوص خشک، درصد رطوبت، نسبت تخلخل و...)، شرایط باگذاری (میران سربار، مسیر تنفس، سرعت باگذاری و...) و کیفیت دانه‌بندی (درصد رس، ضریب یکنواختی و...) می‌شود.^[۱۷-۱۸]

میران رس موجود در خاک رمیندگی، پارامتری است که می‌تواند تأثیر زیادی در رفتار خاک رمیندگی داشته باشد. استیدمن^۵ (۱۹۸۷)، برای بررسی تأثیر درصد ریزدانه‌ها در پتانسیل رمیندگی از خاک ساختگی استفاده کرده است، که شامل ماسه و سیلت می‌شد. دامنه‌ی تغییرات تراکم خاک آزمایشی، شامل: تراکم نسبی ۸۵٪ تا ۹۰٪ و درصد رطوبت ۳٪ زیر رطوبت بهینه بوده است. براساس آزمایش‌های انجام شده، استیدمن متوجه شد که برای درصد ریزدانه‌ی کم (تقریباً ۱۰٪)، رمیندگی برای همه‌ی خاک‌ها خیلی کوچک (در حدود ۸٪ تا ۲٪ درصد)

جدول ۲. ترکیب‌های شیمیایی کاتولین استفاده شده.

ترکیب شیمیایی	مقدار (%)	SiO ₂	Al ₂ O ₃	Fe ₂ O ₃	TiO ₂	CaO	MgO	Na ₂ O	K ₂ O	P ₂ O ₅	MnO	S	ترکیب‌های دیگر
۷۲/۳۹	۱۸/۸۴	۰/۴۹	۰/۱۶	۰/۲۰	۰/۱۱	۰/۲۶	۰/۱۲	< ۰/۰۱	< ۰/۰۲	۰/۰۲	< ۰/۰۱	۷/۱۷	۰

جدول ۳. نتایج نمونه‌های اولیه.

درجه رمبندگی	پتانسیل رمبندگی	نسبت رس به ماسه (%)	میزان رس (%)
متوسط	۲/۶۹	۰	۰
متوسط	۴/۱۳	۵	۴/۷
متوسط	۵/۶۴	۱۰	۹/۱
تا حدی شدید	۷/۵	۱۵	۱۳
تا حدی شدید	۸/۱۹	۲۰	۱۶/۶
تا حدی شدید	۸/۵۵	۲۵	۲۰
تا حدی شدید	۸/۸۷	۳۰	۲۳
تا حدی شدید	۹/۱۹	۳۵	۲۵/۹
تا حدی شدید	۹/۴۹	۴۰	۲۸/۵

جدول ۴. مشخصات فیزیکی خاک استفاده شده.

ویرگی	نوع خاک	γ (kN/m ³)	ω (%)	$\gamma d, max(kN/m^3)$	$\omega_{opt}(%)$	Gs	Cu	Cv
A	SW-SC	۱۳	۵	۲۰/۹۷	۸/۳	۲/۷۲	۱۵	۲/۴
B	SW-SC	۱۳	۵	۲۰	۱۰/۳	۲/۷۰	۸/۵	۲/۳۸
C	SP	۱۳	۵	۱۸/۱۸	۱۰/۹۸	۲/۶۸	۲/۷۶	۱/۰۳

در مطالعه‌ی حاضر، از ۹ نسبت وزنی مختلف رس به ماسه، ۵، ۱۰، ۱۵، ۲۰، ۲۵، ۳۰ و ۴۰ درصد برای ساخت نمونه‌های با پتانسیل رمبندگی مختلف استفاده شده است. خلاصه‌ی نتایج به دست آمده در جدول ۳ ارائه شده است. از میان نمونه‌های اخیر، سه نمونه‌ی A، B و C به ترتیب با میزان رس ۹/۱، ۲۳ و ۰ درصد برای استفاده در دستگاه با قابلیت مدل‌سازی روش‌های مختلف نفوذ آب و بررسی تأثیر میزان رس موجود در خاک رمبند استفاده شده است. مشخصات ژئوتکنیکی سه نمونه‌ی مذکور در آزمایشگاه اندازه‌گیری شده است، که نتایج آن در جدول ۴ ارائه شده است. همچنین نمودارهای دانه‌بندی و نتایج آزمایش تراکم سه نمونه خاک A، B و C به ترتیب در شکل‌های ۲ و ۳ و منحنی‌های تنش - نشت آزمایش تعیین پتانسیل رمبندگی با استفاده از دستگاه ادومتر آنها نیز در شکل ۴ مشاهده می‌شوند.

مخالف نفوذ آب در خاک، پتانسیل رمبندگی خاک رمبند برای روش‌های مختلف نفوذ آب در خاک بررسی شده است. تغییرات پتانسیل رمبندگی ناشی از افزایش میزان رس در آزمایش‌های ادومتر تک و ادومتر دوگانه و آزمایش‌های با قابلیت شبیه‌سازی الگوی نفوذ آب، اندازه‌گیری و مقایسه شده است.

۲. مطالعات آزمایشگاهی

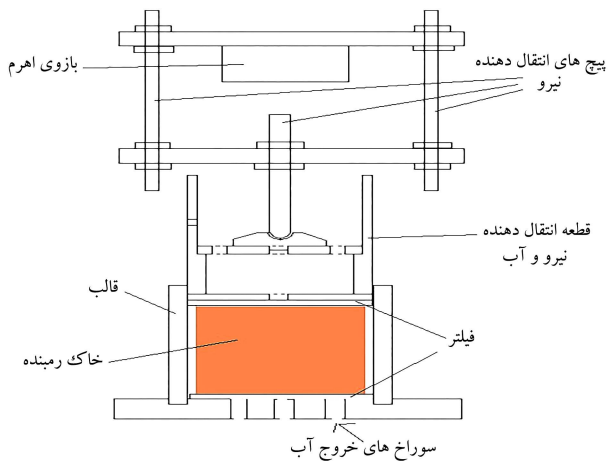
۱.۲ آمداده‌سازی نمونه

در مطالعات آزمایشگاهی از یک نمونه خاک رمبندی ساخته شده در آزمایشگاه استفاده شده است. مطابق با مطالعات هانا و سلیمان (۲۰۱۷)،^[۲۹] می‌توان با ترکیب ماسه‌ی ریزدانه و رس کاتولین و اضافه کردن مقداری رطوبت، یک خاک رمبند ساخت. با استفاده از نسبت‌های مختلف رس به ماسه و وزن مخصوص‌های متفاوت (انرژی تراکم متفاوت)، می‌توان نمونه‌هایی با پتانسیل رمبندگی مختلف ساخت. کاتولین نقش اتصال‌دهنده‌ی بین ذرات ماسه‌ی را در نمونه‌ها دارد. مشخصات شبیه‌سازی کاتولین استفاده شده در جدول ۲ ارائه شده است. مطابق با مطالعه‌ی محمدی و همکارانش (۱۳۹۲)، روش بارشی به دلیل ایجاد نمونه‌های همگن و مشابه به رسوب‌های طبیعی، نسبت به روش‌های دیگر ساخت نمونه مناسب‌تر است.^[۲۰] در مطالعه‌ی حاضر نیز از روش بارش برای ساخت نمونه‌ها استفاده شده است؛ که در آن، پس از مخلوط کردن ماسه و رس کاتولین با نسبت‌های وزنی مختلف و اضافه کردن ۵٪ رطوبت، نمونه‌ی ترکیب شده از ارتفاع ۲۰ سانتی‌متر بارش شده و داخل قالب دستگاه ادومتر ریخته شده است.

۲. دستگاه با قابلیت شبیه‌سازی الگوهای نشت آب
در مطالعات انجام شده از دستگاه‌هایی برای اندازه‌گیری پتانسیل رمبندگی استفاده شده است، که آب به صورت یک دفعه از بالا و پایین و به صورت گستردۀ وارد نمونه‌ی خاک می‌شود، که این نوع اشباع‌شدگی نمی‌تواند مدل مناسبی برای تحلیل انواع شرایط اشباع شدن خاک در واقعیت باشد. با توجه به محدودیت دستگاه‌های موجود، مطابق با شکل ۵، دستگاهی با قابلیت شبیه‌سازی انواع نشت آب در خاک ساخته و استفاده شده است. برای این‌که روش‌های مختلف نفوذ آب در خاک قابلیت مدل‌سازی داشته باشد، بعد سلول نسبت به دستگاه ادومتر افزایش پیدا کرده و از نمونه‌ها با قطر ۱۴ و



شکل ۵. دستگاه ارزیابی پتانسیل رمبنده با قابلیت مدل‌سازی الگوی نفوذ آب.

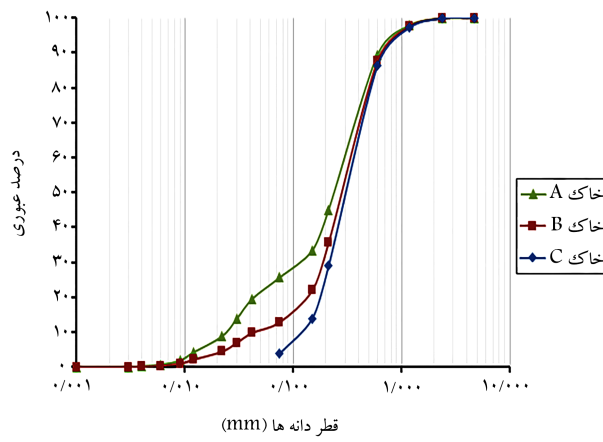


شکل ۶. نحوه مدل‌سازی نفوذ آب از بالا به پایین به صورت نقطه‌یی.

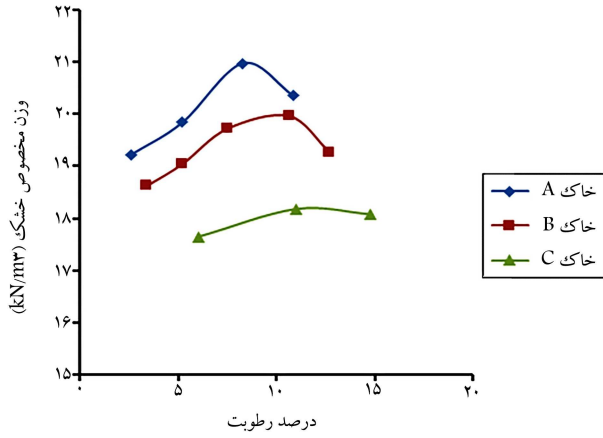
روی صفحه‌ی انتقال دهنده‌ی نیرو به نمونه قرار می‌گیرد و با دقت 0.01 میلی‌متر مقدار نشست‌ها را اندازه‌گیری می‌کند و مقادیر اندازه‌گیری شده در حافظه ذخیره می‌شوند. به طور کلی متابع نفوذ آب به خاک را می‌توان به ۴ دسته تقسیم کرد: (الف) متابعی که به صورت نقطه‌یی از بالا به پایین باعث اشباع شدن یک ناحیه‌ی خاص از خاک رمبنده می‌شوند، مانند: نشت لوله‌های سطحی؛ (ب) متابعی که به صورت گستردۀ و از بالا به پایین باعث اشباع خاک می‌شوند، مانند: جاری شدن سیل؛ (ج) متابعی که به صورت نقطه‌یی از پایین به بالا باعث اشباع شدن یک ناحیه‌ی خاص از خاک رمبنده می‌شوند، مانند: نشت از لوله‌های مدفعون؛ (د) متابعی که به صورت گستردۀ و از پایین به بالا باعث اشباع خاک می‌شوند، مانند: بالا آمدن سطح آب زیرزمینی.

دستگاه اشاره شده، قابلیت مدل‌سازی هر ۴ نوع الگوی نفوذ آب در خاک را دارد. در الگوهای با حرکت آب از بالا به پایین، نمونه داخل قالب قرار می‌گیرد و یک قطعه‌ی از پیش ساخته شده بر روی نمونه قرار می‌گیرد که دو عملکرد دارد: (۱) بار از سیستم بارگذاری دریافت و بر روی سطح نمونه انتقال می‌دهد؛ (۲) آب را براساس نحوه‌ی توزیع آب (نقطه‌یی یا گستردۀ) بر روی سطح نمونه می‌رساند. این قطعه به گونه‌ی طراحی شده است که سطح آب ثابت باقی می‌ماند. آب از بالا وارد قطعه‌ی مذکور می‌شود و مقداری از آن وارد نمونه می‌شود و مقدار اضافه توسط یک شیر خروجی قرار گرفته روی جداره‌ی آن خارج می‌شود. همچنین با جمع‌آوری آب خارج شده از پایین نمونه و انجام آزمایش‌های شیمیایی بر روی آن، می‌توان جنس اتصال‌های بین ذرات خاک رمبنده را، که در آب حل و از پایین نمونه خارج شده‌اند، به دست آورد.

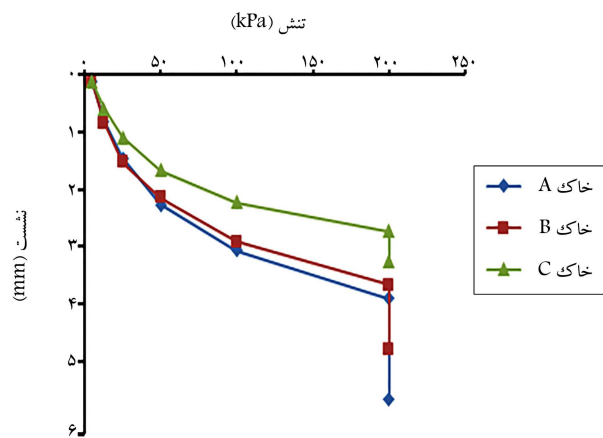
در شکل ۶، نحوه مدل‌سازی نفوذ آب از بالا به سمت پایین به صورت نقطه‌یی



شکل ۲. منحنی دانه‌بندي مکانيکي و هيدرومتری نمونه‌های استفاده شده.



شکل ۳. منحنی تراکم نمونه‌های استفاده شده.

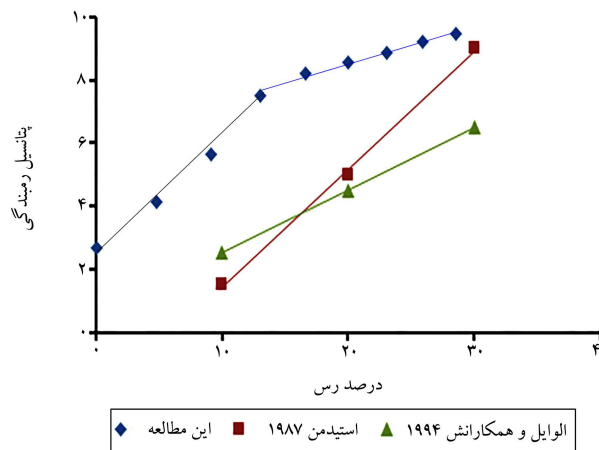


شکل ۴. نتایج آزمایش ادئومتر نمونه‌های استفاده شده.

ارتفاع 10 سانتی‌متر در دستگاه اخیر استفاده شده است تا تأثیر الگوهای نشت آب در خاک بررسی شوند.

در دستگاه ارزیابی پتانسیل رمبنده برای بارگذاری نمونه و اعمال تنش‌های مورد نظر بر روی سطح نمونه، از یک سیستم بارگذاری اهرمی استفاده شده است که نیرو را $4/5$ برابر می‌کند.

برای اندازه‌گیری نشست‌ها در هر مرحله از بارگذاری و پس از اشباع کردن نمونه، از یک جا به جایی سنج (LVDT)، دیتالاگر و رایانه استفاده شده است. جا به جایی سنج بر



شکل ۸. تغییرات پتانسیل رمبندگی در مقابل درصد رس موجود در خاک.

شده است. مطابق شکل ۸، با افزایش میزان رس موجود در نمونه تا میزان ۵٪، میزان پتانسیل رمبندگی افزایش می‌باید. در لس‌ها، رس بین ذرات ماسه یا سیلت یک اتصال به وجود می‌آورد، که در حالت خشک مقاومت خوبی از خود نشان می‌دهد؛ اما در زمان خیس شدن فرو می‌ریزد و باعث نشست ناگهانی و قابل توجه در لایه‌ی خاک رمبندگی می‌شود.

مطابق با شکل ۸، نتایج مطالعه‌ی حاضر و مطالعات استیدمن (۱۹۸۷) والایل و همکارانش (۱۹۹۴) نشان می‌دهند که با افزایش میزان رس، تا ۳۰٪ پتانسیل رمبندگی افزایش یافته است. اما براساس نتایج مطالعه‌ی حاضر، سرعت افزایش پتانسیل رمبندگی بعد از میزان ۱۳٪ رس کاهش یافته است، در صورتی که در مطالعات پیشین، سرعت رشد پتانسیل رمبندگی ثابت بوده است.

۲.۳. ادئومتر دوگانه

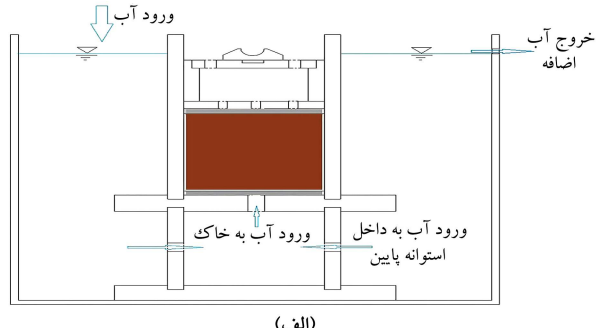
قاده‌ی آزمایش ادئومتر دوگانه بر این اساس است که تغییرشکل‌های به وجود آمده در اثر خیس شدن، مستقل از مسیر بارگذاری - خیس شدن خواهد بود. آزمایش ادئومتر دوگانه با استفاده از دو نمونه‌ی یکسان انجام می‌شود، یکی به روش آزمایش ادئومتر معمول در درصد رطوبت طبیعی صورت می‌گیرد و نمونه‌ی دیگر، پس از غرقاب شدن بارگذاری می‌شود.

در شکل ۹، نتایج آزمایش ادئومتر دوگانه برای سه نمونه‌ی نهایی مشاهده می‌شود. اختلاف دو منحنی خشک و خیس در هر سرباری، نشان دهنده‌ی میزان نشست رمبندگی در همان سربار است. پتانسیل رمبندگی برای خاک‌های A، B و C برای سربار 200 kPa به ترتیب: $5/7$ ، $8/92$ و $2/75$ بوده است.

۳. نفوذ آب با الگوی بالا - نقطه‌ی

ابعاد نمونه نسبت به آزمایش ادئومتر افزایش یافت و در داخل دستگاه قرار گرفت. پس از رسیدن تنش سربار به میزان 200 kPa ، آب از بالا و از یک نقطه در وسط سطح نمونه وارد خاک شد و به سمت پایین حرکت کرد و میزان نشست تا ۲۴ ساعت بعد از شروع فرایند نفوذ آب، اندازه‌گیری شد.

در شکل ۱۰، نتایج خاک‌های A، B و C، برای نفوذ نقطه‌ی آب از بالا به صورت نشست در مقابل تنش مشاهده می‌شود. همچنین در شکل ۱۱، منحنی نشست مطلق بعد از شروع فرایند اشباع شدن تا ۲۴ ساعت بعد از آن به صورت نشست - زمان مشاهده می‌شود، که نشان دهنده‌ی تغییرات نشست در زمان‌های



(الف)



(ب)

شکل ۷. الف) نحوه مدل‌سازی نفوذ آب از پایین به سمت بالا و به صورت نقطه‌ی؛
ب) ثابت نگهدارشتن ارتفاع آب.

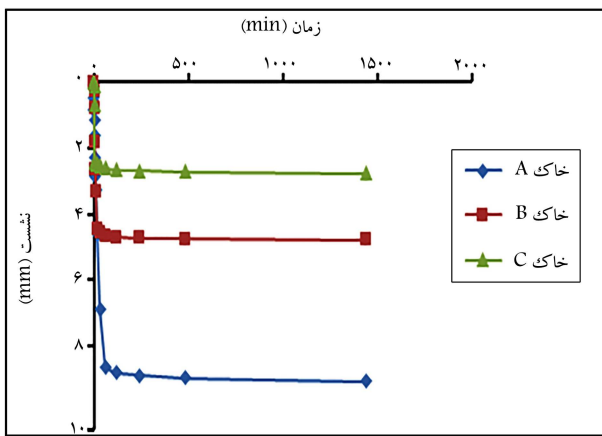
مشاهده می‌شود. برای مدل‌سازی توزیع گسترده در حرکت آب از بالا به سمت پایین، کافی است که صفحه‌ی دایره‌ی شکل قرار گرفته بر روی نمونه تغییر کند و به جای استفاده از صفحه‌ی یک سوراخ، از صفحه‌ی ۵ سوراخ استفاده کرد.

برای مدل‌سازی الگوهای نفوذ آب از پایین به سمت بالا، قالب نمونه روی یک استوانه قرار می‌گیرد. این استوانه ۴ سوراخ بر روی جداره‌ی خود دارد، که اجازه می‌دهد آب وارد آن شود. بین قالب و استوانه زیر آن از یک صفحه استفاده می‌شود، که براساس نحوه توزیع آب از بالا به سمت پایین، داشته باشد. بر روی نمونه نیز یک قطعه قرار می‌گردد، که هم با ررا از سیستم بارگذاری به نمونه انتقال می‌دهد و هم آب پس از عبور از نمونه، داخل آن جمع می‌شود. تمامی قطعات ذکر شده داخل یک محفظه‌ی پلاستیکی قرار می‌گیرند، که در زمان اشباع شدن پر از آب می‌شود و آب داخل آن وارد استوانه کف قالب می‌شود و بعد از آن از طریق سوراخ یا سوراخ‌های قرار گرفته بر روی صفحه بین قالب و استوانه، آب وارد نمونه می‌شود. در این نوع اشباع شدن نیز سطح آب در محفظه‌ی پلاستیکی با استفاده از دو شیر ورودی و خروجی ثابت می‌ماند. در شکل ۷، نحوه مدل‌سازی نفوذ آب از پایین به سمت بالا و به صورت نقطه‌ی نشان داده شده است. در این نوع اشباع شدن نیز می‌توان با استفاده از آب جمع شده در قطعه‌ی روی نمونه و انجام آزمایش‌های شیمیایی، جنس اتصال‌های بین ذرات خاک رمبندگی را تعیین کرد.

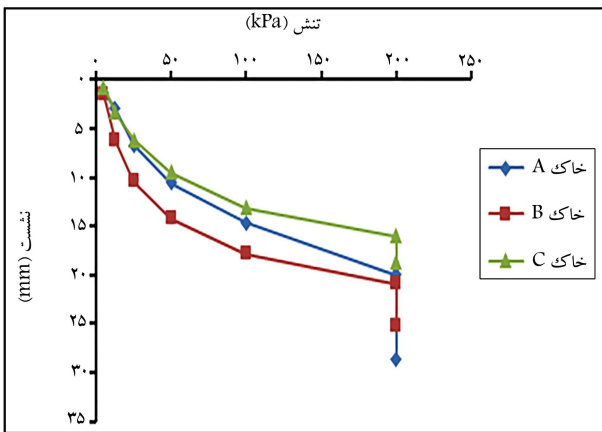
۳. نتایج

۳.۱.۳. ادئومتر تک

برای بررسی تأثیر میزان رس با استفاده از آزمایش ادئومتر تک، علاوه بر سه نمونه نهایی از نتایج دیگر نمونه‌های استفاده شده در مرحله‌ی ساخت نمونه نیز استفاده



شکل ۱۱. منحنی های نشست - زمان الگوی نفوذ آب از بالا - نقطه بی.



شکل ۱۲. نتایج آزمایش با الگوی نفوذ آب از بالا - گسترده.

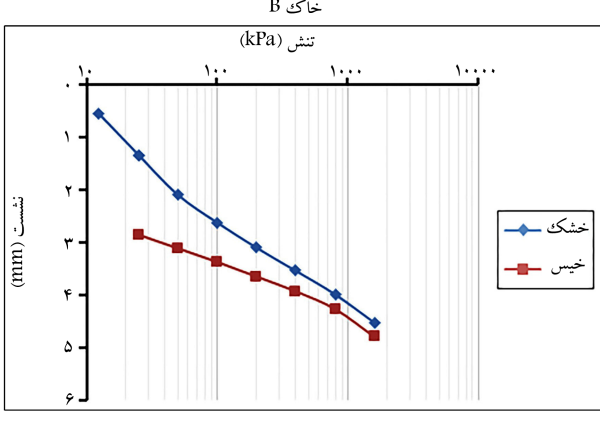
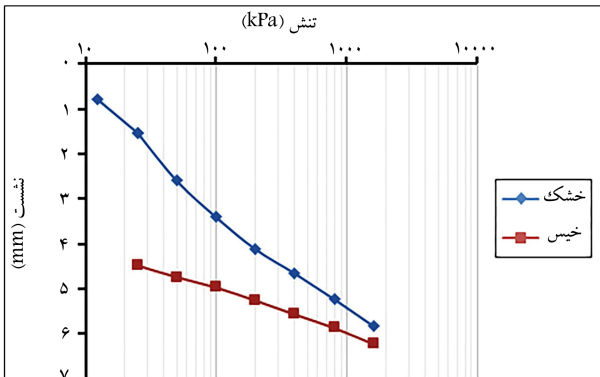
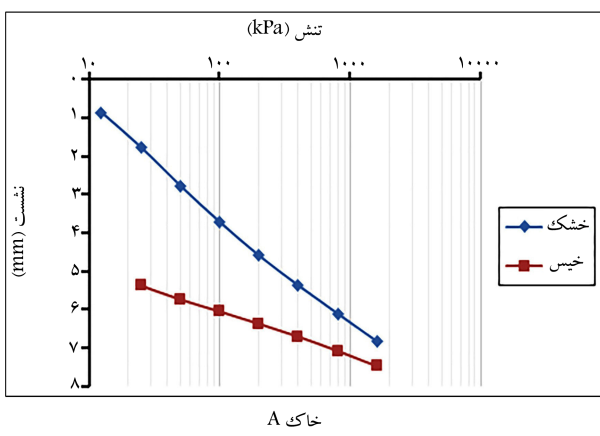
مختلف است. میزان پتانسیل رمبندگی با استفاده از معادله ۲ و میزان نشست قبل از اشباع شدن و نشست ۲۴ ساعت بعد از اشباع شدن، برای خاک های A، B و C به ترتیب $4/79$ ، $9/08$ و $3/42$ اندازه گیری شده است.

۴.۳. نفوذ آب با الگوی بالا - گسترده

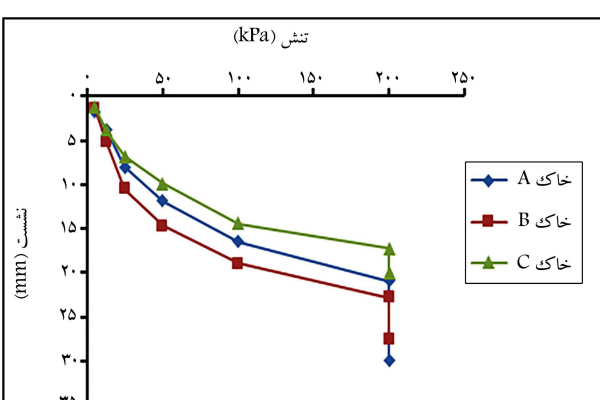
در شکل های ۱۲ و ۱۳، به ترتیب نمودارهای تنش - نشست و نشست - زمان مربوط به نفوذ گسترده ای آب از بالا به سمت پایین برای خاک های A، B و C مشاهده می شوند. با توجه به میزان نشست قبل از اشباع شدن و ۲۴ ساعت پس از اشباع شدن، میزان پتانسیل رمبندگی در خاک های A، B و C به ترتیب $8/62$ ، $4/4$ و $2/58$ بوده است.

۵.۳. نفوذ آب با الگوی پایین - نقطه بی

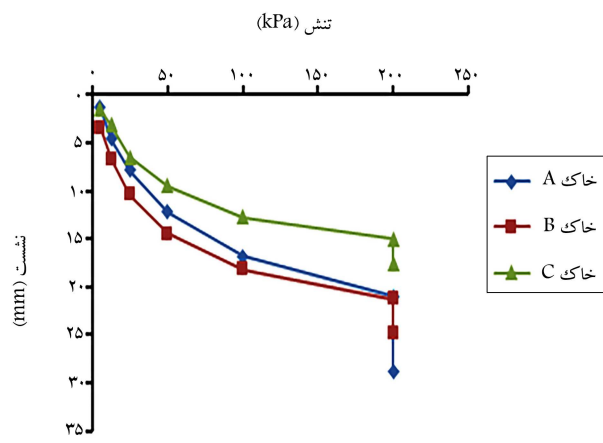
در الگوی ذکر شده نفوذ آب، پس از رسیدن به سرشار 200 kPa ، آب از پایین و مرکز نمونه وارد خاک رمبندگی می شود و به سمت بالا حرکت می کند تا نمونه کاملاً اشباع شود. در شکل های ۱۴ و ۱۵، به ترتیب نمودارهای تنش - نشست و نشست - زمان مربوط به الگوی نفوذ آب از پایین - نقطه بی مشاهده می شوند؛ که مطابق آنها، میزان پتانسیل رمبندگی برای خاک های A، B و C به ترتیب $7/75$ ، $3/66$ و $2/49$ است.



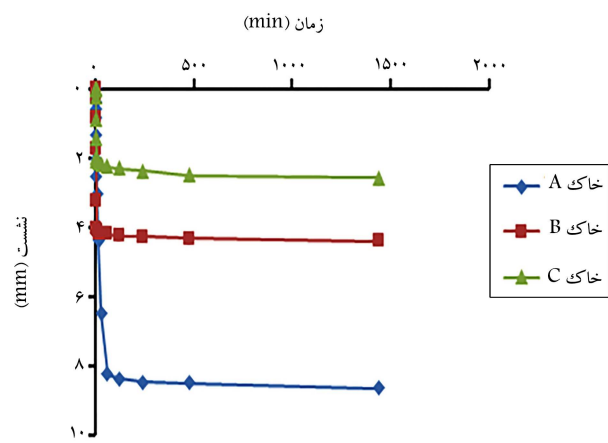
شکل ۹. نتایج آزمایش ادومتر دوگانه برای خاک های A، B و C.



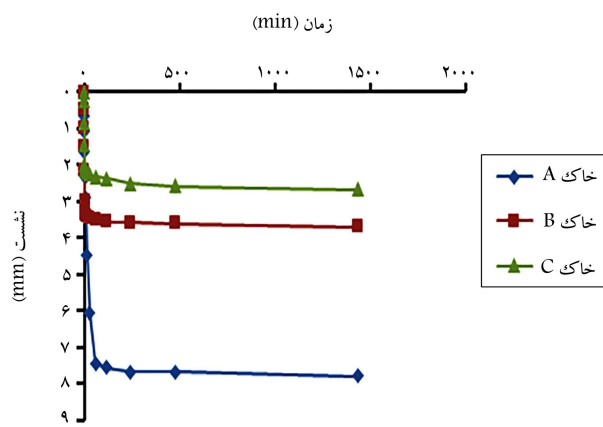
شکل ۱۰. نتایج آزمایش با الگوی نفوذ آب از بالا - نقطه بی.



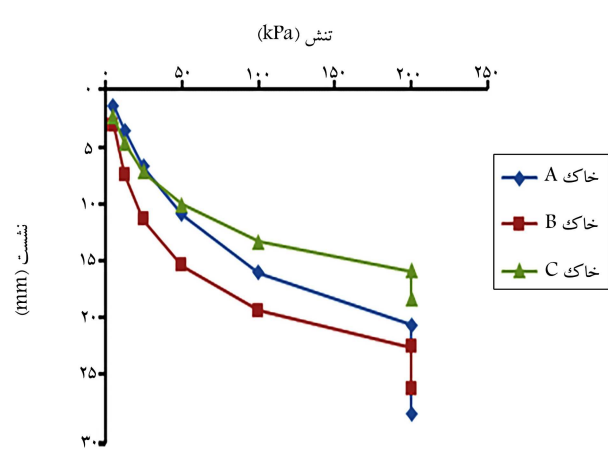
شکل ۱۶. نتایج آزمایش با الگوی نفوذ آب از پایین - گستردگی.



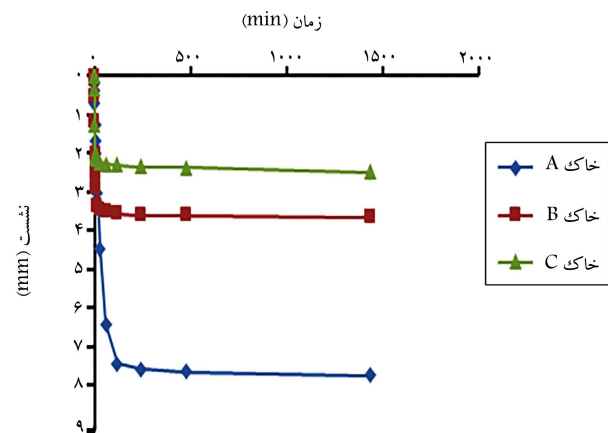
شکل ۱۷. منحنی‌های نشست - زمان الگوی نفوذ آب از بالا - گستردگی.



شکل ۱۸. مقایسه‌ی نتایج آزمایش‌های ادومتر و آزمایش‌های با قابلیت شبیه‌سازی الگوی نفوذ آب در خاک.



شکل ۱۹. نتایج آزمایش با الگوی نفوذ آب از پایین - نقطه‌ی بی.



شکل ۲۰. منحنی‌های نشست - زمان الگوی نفوذ آب از پایین - نقطه‌ی بی.

۴. آنالیز

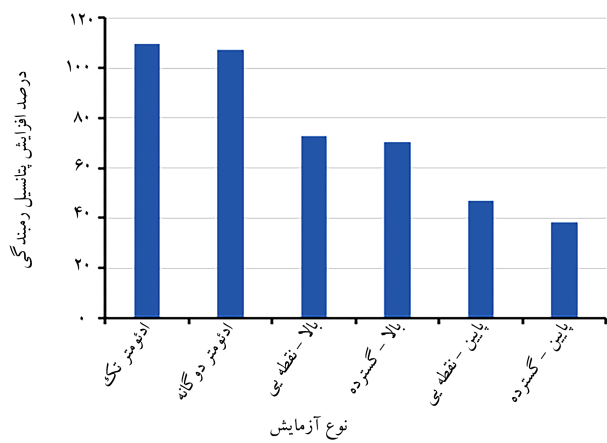
در شکل ۱۸، تغییرات پتانسیل رمیندگی در مقابل درصد رس موجود در خاک رمیندگه برای آزمایش‌های ادومتر تک و دوگانه و آزمایش‌های با قابلیت شبیه‌سازی الگوی نفوذ آب در خاک مشاهده می‌شود. براساس نتایج به دست آمده برای تمام آزمایش‌ها با افزایش میزان رس، پتانسیل رمیندگی افزایش یافته است. اما شبیه

۶.۳. نفوذ آب با الگوی پایین - گستردگی

در شکل‌های ۱۶ و ۱۷، به ترتیب نمودارهای تنش - نشست و نشست - زمان مربوط به نفوذ گستردگی آب از پایین به سمت بالا مشاهده می‌شوند؛ که مطابق آنها، میزان پتانسیل رمیندگی برای خاک‌های A، B و C به ترتیب $7/8$ ، $7/69$ و $2/67$ است.

جدول ۵. اختلاف پتانسیل رمبندگی خاک‌های A و B نسبت به خاک C.

نوع خاک	خاک C (رس ۲۳٪)	خاک B (رس ۱٪)	خاک C (رس ٪)	نوع آزمایش
	پتانسیل رمبندگی	اختلاف با خاک C (%)	پتانسیل رمبندگی	
۲۲۹	۸/۸۷	۱۰۹	۵/۶۴	ادئومتر تک
۲۲۴	۸/۹۲	۱۰۷	۵/۷	ادئومتر دوبل
۲۲۷	۹/۰۸	۷۲	۴/۷۹	بالا - نقطه‌بی
۲۳۴	۸/۹۲	۷۰	۴/۴	بالا - گستردہ
۲۱۱	۷/۷۵	۴۷	۳/۶۶	پایین نقطه‌بی
۱۹۲	۷/۸	۳۸	۳/۶۹	پایین گستردہ



شکل ۱۹. میزان افزایش پتانسیل رمبندگی خاک B نسبت به خاک C در آزمایش‌های مختلف.

تک و دوگانه، ۱۰٪ بوده است، در صورتی که مقدار آن برای آزمایش‌های با الگوی نفوذ آب، ۵٪ بوده است، که تقریباً نصف آزمایش‌های ادئومتر است. بنابراین برای پیش‌بینی دقیق‌تر رفتار خاک‌های رمبندگی با میزان ۱٪ درصدی رس موجود در نمونه، بهتر است از آزمایش‌های با الگوی نفوذ آب استفاده کرد.

در بین الگوهای نفوذ آب در خاک، بیشترین میزان افزایش پتانسیل رمبندگی مربوط به نفوذ آب از بالا به صورت نقطه‌بی بوده است، که مقدار آن ۷۲٪ و کمترین آن مربوط به نفوذ آب از پایین به صورت گستردہ با مقدار ۳۸٪ بوده است.

میزان افزایش برای الگوهای با نفوذ آب از بالا به پایین به طور متوسط ۷۱٪ و برای الگوهای نفوذ آب از پایین به بالا، ۴۲٪ بوده است، که نشان می‌دهد میزان افزایش پتانسیل رمبندگی برای الگوهای نفوذ آب از بالا، ۱/۸۴ برابر این مقدار برای الگوهای با نفوذ آب از پایین است.

در بررسی تأثیر نحوه توزیع آب (نقطه‌بی یا گستردہ) در افزایش میزان پتانسیل رمبندگی، میزان افزایش در توزیع نقطه‌بی به طور متوسط ۵۹٪ و در توزیع گستردہ ۵۴٪ بوده است، که نشان می‌دهد میزان افزایش پتانسیل رمبندگی برای توزیع نقطه‌بی، ۱/۱ برابر توزیع گستردہ است.

این نتایج نشان می‌دهند که تأثیر جهت حرکت آب در میزان افزایش پتانسیل رمبندگی ناشی از افزایش میزان رس موجود در نمونه، بیشتر از تأثیر نحوه توزیع آب است.

در شکل ۲۰، میزان افزایش پتانسیل رمبندگی خاک A نسبت به خاک C در آزمایش‌های مختلف مشاهده می‌شود. با افزایش ۲۳ درصدی میزان رس موجود در

افزایش و میزان پتانسیل رمبندگی اندازه‌گیری شده در همه‌ی آزمایش‌ها یکسان نبوده است. نتایج آزمایش ادئومتر تک و دوگانه به دلیل شباهت در نوع اشباع شدن تطبیق زیادی دارند. در الگوهای با نفوذ آب از پایین به صورت نقطه‌بی و گستردہ نیز شباهت زیادی در نتایج مشاهده می‌شود، که نشان می‌دهد در جهت اخیر حرکت آب، نحوه توزیع آب (نقطه‌بی یا گستردہ)، تأثیر زیادی در پتانسیل رمبندگی خاک نداشته است.

در خاک C، تقریباً نتایج برای همه‌ی آزمایش‌ها نزدیک به هم بوده و الگوی نفوذ آب برای خاک‌های بدون رس، تأثیر زیادی در پتانسیل رمبندگی نداشته است و می‌توان از نتایج آزمایش ادئومتر استفاده کرد.

در خاک B، نتایج آزمایش ادئومتر و آزمایش‌های با الگوی نفوذ آب، تفاوت چشمگیری داشته و میزان پتانسیل رمبندگی برای تمام الگوهای نفوذ آب، نسبت به نتایج ادئومتر کمتر بوده است. نتایج مذکور نشان می‌دهند که در خاک‌های با میزان رس حدود ۱۰٪، نتایج آزمایش ادئومتر دقت کافی را ندارند و باید از نتایج آزمایش‌های با الگوی نفوذ آب استفاده شود.

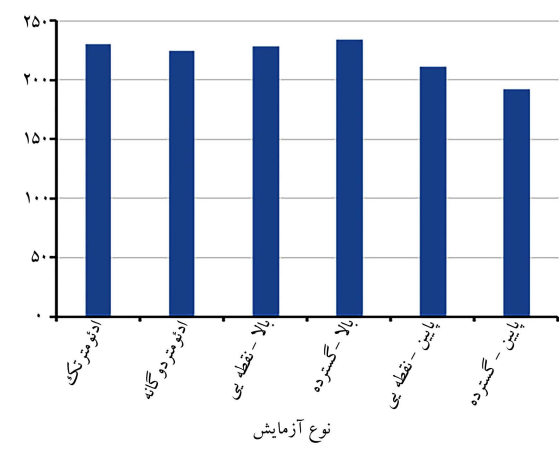
در خاک A، اختلاف بین نتایج آزمایش‌های مختلف مشاهده می‌شود، اما میزان اختلاف نسبت به خاک B کمتر بوده است. در الگوهای نفوذ آب از بالا به صورت نقطه‌بی و گستردہ، نتایج نزدیک به نتایج آزمایش ادئومتر بوده است؛ حتی در الگوی نفوذ از بالا به صورت نقطه‌بی، میزان پتانسیل رمبندگی مقدار کمی بیشتر از نتایج ادئومتر بوده است. اما در الگوهای با نفوذ آب از پایین به صورت نقطه‌بی و گستردہ، اختلاف نتایج با آزمایش ادئومتر چشمگیر بوده است. لذا، بهتر است در جهت حرکت آب از پایین، از نتایج آزمایش با قابلیت شبیه‌سازی الگوی نفوذ آب استفاده شود.

از آنجا که نتایج برای خاک بدون رس (خاک C)، در آزمایش‌های مختلف نزدیک به هم هستند، از نتایج خاک C به عنوان مبنای استفاده و میزان افزایش پتانسیل رمبندگی در اثر افزایش میزان رس موجود در خاک برای آزمایش‌های مختلف محاسبه شده است. در جدول ۵، میزان پتانسیل رمبندگی خاک‌های A، B، C و برای آزمایش‌های مختلف و میزان اختلاف نتایج خاک‌های A و B نسبت به خاک C ارائه شده است.

در شکل ۱۹، میزان افزایش پتانسیل رمبندگی در خاک B نسبت به خاک C برای آزمایش‌های مختلف مشاهده می‌شود؛ که براساس نتایج به دست آمده با افزایش ۹/۱ درصدی میزان رس موجود در نمونه، میزان پتانسیل رمبندگی افزایش یافته است، اما میزان آن برای تمام آزمایش‌ها یکسان نبوده است.

میزان افزایش پتانسیل رمبندگی در آزمایش‌های ادئومتر با آزمایش‌های با قابلیت شبیه‌سازی الگوی نفوذ آب اختلاف داشته و میانگین میزان آن در آزمایش‌های ادئومتر

و ۲۳ درصد، جهت حرکت آب بیشترین تأثیر را در افزایش پتانسیل رمبندگی ناشی از افزایش رس گذاشته است، که تأثیر حرکت آب از بالا به پایین بیشتر از حرکت آب از پایین به بالا بوده است. در زمانی که آب به سمت پایین حرکت کرده است، نیروی تراوش آب به سمت پایین و زمانی که به سمت بالا حرکت کرده است، نیروی تراوش آب به سمت بالا بوده است، که این اختلاف نیرو می‌تواند باعث ایجاد تفاوت در مقادیر پتانسیل رمبندگی شود. همچنین نیروی جاذبه باعث می‌شود که آب در حرکت به سمت پایین نسبت به حرکت به سمت بالا سریع‌تر در لایه خاک حرکت کند و نمونه سریع‌تر اشباع شود، که تغییرات سرعت اشباع شدن می‌تواند عامل دیگری از تفاوت مقادیر پتانسیل رمبندگی در دو جهت حرکت آب به سمت بالا و پایین باشد.



شکل ۲۰. میزان افزایش پتانسیل رمبندگی خاک A نسبت به خاک C در آزمایش‌های مختلف.

خاک رمبندگی، میزان پتانسیل رمبندگی در همه‌ی آزمایش‌ها افزایش یافته است، اما میزان آن در آزمایش‌های مختلف یکسان نبوده است. این اختلاف نتایج آزمایش‌های مختلف نسبت به نمونه با رس ۹/۹٪، کمتر بوده است.

میزان افزایش پتانسیل رمبندگی در آزمایش‌های ادومتر به طور متوسط ۲۲۷٪ و برای آزمایش‌های با الگوی نفوذ آب از بالا به پایین، ۲۳۰٪ بوده است، که نشان می‌دهد اختلاف ناچیزی با هم دارند و برای خاک رمبندگی با میزان رس ۲۳٪ می‌توان برای الگوهای با نفوذ آب از بالا به پایین از نتایج ادومتر استفاده کرد. اما در الگوهای با نفوذ آب از پایین به بالا، میزان افزایش پتانسیل رمبندگی به طور متوسط ۲۰۱٪ بوده است، که با نتایج آزمایش‌های ادومتر اختلاف بیشتری دارد و بهتر است برای الگوهای نفوذ آب با مقدار ۲۳٪ رس موجود در نمونه، از آزمایش‌های با قابلیت شبیه‌سازی الگوهای نفوذ آب در خاک استفاده کرد.

درین الگوهای نفوذ آب در خاک، بیشترین افزایش پتانسیل رمبندگی با مقدار ۲۳۴٪، مربوط به نفوذ آب از بالا و به صورت گسترش و کمترین میزان آن مربوط به نفوذ آب از پایین به صورت گسترش با مقدار ۱۹۲٪ بوده است.

بررسی تأثیر پارامتر جهت حرکت آب در میزان افزایش پتانسیل رمبندگی ناشی از افزایش میزان افزایش پتانسیل رمبندگی مربوط در نمونه نشان می‌دهد که میزان افزایش رمبندگی در حرکت آب از بالا به پایین به طور متوسط ۲۳٪ و در حرکت آب از پایین به بالا به طور متوسط ۲۰۱٪ بوده است. براساس نتایج اخیر، افزایش رس به میزان ۲۳٪ در الگوهای با نفوذ آب از بالا تأثیر بیشتری در پتانسیل رمبندگی نسبت به الگوهای با نفوذ آب از پایین گذاشته است.

در بررسی تأثیر نحوه توزیع آب برای نمونه‌ی اخیر، در الگوهای با توزیع نقطه‌یی میزان افزایش پتانسیل رمبندگی به طور متوسط ۲۱۹٪ و در توزیع گسترش به طور متوسط ۲۱۳٪ بوده است، که این نتایج نشان می‌دهد توزیع آب نقطه‌یی، تأثیر بیشتری در افزایش پتانسیل رمبندگی نسبت به توزیع گسترش داشته است؛ اما اختلاف آنها ناچیز بوده است و می‌توان از تأثیر نحوه توزیع آب برای خاک با ۲۳٪ رس، چشمپوشی کرد.

نتایج به دست آمده نشان می‌دهند که برای نمونه‌ی اخیر، نیز جهت حرکت آب در میزان افزایش پتانسیل رمبندگی ناشی از افزایش میزان رس موجود در نمونه، پارامتر مؤثربری نسبت به نحوه توزیع آب بوده است.

براساس نتایج به دست آمده در هر دو مقدار افزایش مقدار رس به میزان ۹/۱

۵. نتیجه‌گیری

در پژوهش حاضر، تأثیر میزان رس موجود در نمونه‌ی خاک رمبندگی در پتانسیل رمبندگی بررسی شده است. علاوه بر آزمایش‌های معمول، از دستگاهی استفاده شده است که قابلیت شبیه‌سازی الگوهای نفوذ آب در خاک را داشته است. میزان تغییر پتانسیل رمبندگی در مقابل میزان افزایش رس با دو مقدار ۹/۱ و ۲۳ درصد اندازه‌گیری شده و این نتایج به دست آمده است:

۱. افزایش میزان رس موجود در نمونه باعث افزایش پتانسیل رمبندگی خاک رمبندگی شده است، اما میزان افزایش آن در آزمایش‌های مختلف یکسان نبوده است؛

۲. میزان افزایش پتانسیل رمبندگی در آزمایش‌های ادومتر تک و دوگانه به دلیل ماهیت اشباع شدن یکسان، در هر دو مقدار افزایش میزان رس تطابق زیادی داشته‌اند؛

۳. به طور کلی در هر دو مقدار افزایش میزان رس موجود در نمونه، میزان افزایش پتانسیل رمبندگی در نتایج آزمایش‌های ادومتر بیشتر از نتایج آزمایش‌های با قابلیت شبیه‌سازی الگو نفوذ آب بوده است، اما این اختلاف در افزایش میزان رس به مقدار ۹/۱ بیشتر از افزایش رس به میزان ۲۳٪ بوده است؛

۴. برای افزایش رس به میزان ۹/۱٪، درین الگوهای نفوذ آب در خاک، بیشترین افزایش پتانسیل رمبندگی مربوط به الگوی نفوذ آب از بالا به پایین به صورت نقطه‌یی با میزان ۷۲٪ و کمترین میزان افزایش پتانسیل رمبندگی مربوط به نفوذ آب از پایین و به صورت گسترش با مقدار ۳۸٪ بوده است. برای افزایش رس موجود در نمونه به میزان ۲۳٪، بیشترین افزایش پتانسیل رمبندگی مربوط به الگوی نفوذ آب از بالا به صورت گسترش داده با میزان ۲۳٪ و کمترین افزایش پتانسیل رمبندگی مربوط به نفوذ آب از پایین به صورت گسترش با مقدار ۱۹٪ بوده است؛

۵. برای هر دو مقدار افزایش رس، میزان افزایش پتانسیل رمبندگی در حرکت آب از بالا به پایین بیشتر از حالت رو به بالای آب بوده است. میزان اختلاف نتایج برای افزایش رس به مقدار ۹/۱٪ بیشتر از افزایش رس به مقدار ۲۳٪ بوده است؛

۶. در نمونه با افزایش رس به مقدار ۹/۱٪، توزیع نقطه‌یی افزایش پتانسیل رمبندگی بیشتری نسبت به توزیع گسترش داده شده است؛ اما در افزایش رس به مقدار ۲۳٪، اختلاف نتایج برای توزیع نقطه‌یی و گسترش ناچیز بوده است؛

۷. نتایج به دست آمده نشان می‌دهند که در هر دو مقدار افزایش رس ۹/۱ و ۲۳ درصد)، عامل جهت حرکت آب نسبت به نحوه توزیع آب در افزایش پتانسیل رمبندگی مؤثرتر بوده است.

پانوشت‌ها

1. Single-Oedometer
2. Double-Oedometer
3. Collapse Potential
4. Collapse Index
5. Steadman
6. Lawton
7. Alwail
8. Kim
9. Hanna & Soliman

منابع (References)

1. Mitchell, J.K. and Soga, K., 2005. Fundamentals of soil behavior. *John Wiley & Sons New York*.
2. Gaaver, K.E., 2012. Geotechnical properties of Egyptian collapsible soils. *Alexandria Engineering Journal*, 51(3), pp.205-210. <http://dx.doi.org/10.1016>
3. Murthy, V.N.S., 2003. *Geotechnical Engineering: Principles and Practices of Soil Mechanics and Foundation Engineering*, CRC Press. <https://doi.org/10.1201/9781482275858>.
4. Rogers, C., Dijkstra, T. and Smalley, I., 1994. Hydroconsolidation and subsidence of loess: Studies from China, Russia, North America and Europe: In memory of Jan Sajgalik. *Engineering Geology*, 37(2), pp.83-113. [https://doi.org/10.1016/0013-7952\(94\)90045-0](https://doi.org/10.1016/0013-7952(94)90045-0).
5. Nouaouria, M., Guenfoud, M. and Lafifi, B., 2008. Engineering properties of loess in Algeria. *Engineering Geology*, 99(1.2), pp.85-90. <https://doi.org/10.1016/j.enggeo.2008.01.013>.
6. Osipov, V. and Sokolov, V., 1995. *Factors and Mechanism of Loess Collapsibility*. In Genesis and Properties of Collapsible Soils: Springer, 468, pp.49-63.
7. Clemence, S.P. and Finbarr, A.O., 1981. Design considerations for collapsible soils. *Journal of the Geotechnical Engineering Division*, 107(3), pp.305-317. <https://doi.org/10.1061/AJGEB6.0001102>.
8. Noutash, M., Hajialilue, B. and Cheshmdoost, M., 2010. Prepounding of canals as a remediation method for collapsible soils. In the Proceedings of the 4th International Conference on Geotechnical Engineering and Soil Mechanics, Tehran, Iran.
9. Li, P., Vanapalli, S. and Li, T., 2016. Review of collapse triggering mechanism of collapsible soils due to wetting. *Journal of Rock Mechanics and Geotechnical Engineering*, 8(2), pp.256-274. <https://doi.org/10.1016/j.jrmge.2015.12.002>.
10. Zimbardo, M., Ercoli, L. and Megna, B., 2016. The open metastable structure of a collapsible sand: Fabric and bonding. *Bulletin of Engineering Geology and the Environment*, 75(1), pp.125-139. DOI:10.1007/s10064-015-0752-7
11. Derbyshire, E., 2001. Geological hazards in loess terrain, with particular reference to the loess regions of China. *Earth-Science Reviews*, 54(1.3), pp.231-260. [https://doi.org/10.1016/S0012-8252\(01\)00050-2](https://doi.org/10.1016/S0012-8252(01)00050-2).
12. Houston, S.L., Houston, W.N., Zapata, C.E. and et al., 2001. *Geotechnical Engineering Practice for Collapsible Soils*. In Unsaturated Soil Concepts and Their Application in Geotechnical Practice: Springer, pp.333-355.
13. Ayadat, T., 2022. Geotechnical performance of encapsulated and stabilized stone columns in a collapsible soil. *International Journal of Geomechanics*, 22(6), p.04022057. [https://doi.org/10.1061/\(ASCE\)GM.1943-5622.0002368](https://doi.org/10.1061/(ASCE)GM.1943-5622.0002368).
14. Jennings, J.E., Knight, K. 1975. A guide to construction on or with materials exhibiting additional settlement due to collapse of grain structure. *Proceedings of the 6th Regional Conference for Africa on Soil Mechanics and Foundation Engineering*, pp. 99-105.
15. Mahmoudian, H., Hashemi, M., Ajalloeian, R. and et al., 2020. Investigating the effect of additives' size on the improvement of the tensile and compressive strengths and deformation characteristics of collapsible soils. *Environmental Earth Sciences*, 79(13), pp.1-16. DOI:10.1007/s12665-020-09085-1.
16. ASTM D5333., 2003. *Standard Test Methods for Measurement of Collapse Potential of Soils*, Ed: Annual Book of ASTM Standards.
17. Lawton, E.C., 1986. Wetting-induced collapse in compacted soil, Ph.D. thesis, Washington State University, Pullman, Wash.
18. Lawton, E.C., Fragaszy, R.J. and Hetherington, M.D., 1992. Review of wetting-induced collapse in compacted soil. *Journal of Geotechnical Engineering*, 118(9), pp.1376-1394. [https://doi.org/10.1061/\(ASCE\)0733-9410\(1992\)118:9\(1376\)](https://doi.org/10.1061/(ASCE)0733-9410(1992)118:9(1376)).
19. Steadman, L., 1987. Collapse settlement in compacted soils of variable fines content. Master's thesis, Washington State University, Pullman, Wash.
20. Basma, A.A. and Tuncer, E.R., 1992. Evaluation and control of collapsible soils. *Journal of Geotechnical Engineering*, 118(10), pp.1491-1504. [https://doi.org/10.1061/\(ASCE\)0733-9410\(1992\)118:10\(1491\)](https://doi.org/10.1061/(ASCE)0733-9410(1992)118:10(1491)).
21. Houston, S., Houston, W. and Lawrence, C., 2002. Collapsible soil engineering in highway infrastructure development. *Journal of Transportation Engineering*, 128(3), pp.295-300. [https://doi.org/10.1061/\(ASCE\)0733-947X\(2002\)128:3\(295\)](https://doi.org/10.1061/(ASCE)0733-947X(2002)128:3(295)).
22. Kim, D., Chung, Y., Siddiki, N.Z. and et al., 2008. Mechanical characteristics of Indiana loess soils for highway Embankments, Transportation Research Board 87th Annual Meeting.
23. Alonso, E.E., Gens, A. and Josa, A., 1990. A constitutive model for partially saturated soils. *Géotechnique*, 40(3), pp.405-430. <https://doi.org/10.1680/geot.1990.40.3.405>.
24. Wheeler, S., Sharma, R. and Buisson, M., 2003. Coupling of hydraulic hysteresis and stress-strain behaviour in unsaturated soils. *Géotechnique*, 53(1), pp.41-54. <https://doi.org/10.1680/geot.2003.53.1.41>.
25. Pereira, J.H., Fredlund, D.G., Cardão Neto, M.P. and et al., 2005. Hydraulic behavior of collapsible compacted gneiss soil. *Journal of Geotechnical and Geoenvironmental Engineering*, 131(10),

- pp.1264-1273. [http://dx.doi.org/10.1061/\(ASCE\)1090-0241\(2005\)131:10\(1264\).](http://dx.doi.org/10.1061/(ASCE)1090-0241(2005)131:10(1264).)
26. Medero, G., Schnaid, F. and Gehling, W., 2009. Oedometer behavior of an artificial cemented highly collapsible soil. *Journal of Geotechnical and Geoenvironmental Engineering*, 135(6), pp.840-843. [https://doi.org/10.1061/\(ASCE\)1090-0241\(2009\)135:6\(840\).](https://doi.org/10.1061/(ASCE)1090-0241(2009)135:6(840).)
27. Alwail, T., Ho, C. and Fragaszy, R., 1994. Collapse mechanism of compacted clayey and silty sands. In Vertical and Horizontal Deformations of Foundations and Embankments, 2(40), pp.1435-1446.
28. Haeri, S.M., 2016. Hydro-mechanical behavior of collapsible soils in unsaturated soil mechanics context. *Japanese Geotechnical Society Special Publication*, 2(1), pp.25-40. <https://doi.org/10.3208/jgssp.KL-3.>
29. Hanna, A. and Soliman, S., 2017. Experimental investigation of foundation on collapsible soils. *Journal of Geotechnical and Geoenvironmental Engineering*, 143(11), p.04017085. [https://doi.org/10.1061/\(ASCE\)GT.1943-5606.0001750.](https://doi.org/10.1061/(ASCE)GT.1943-5606.0001750.)
30. Mohammadi, S.D. and Ajalloeian, R., 2014. Investigation of desirability of sand pluviation technique in order to sample making of sandy soils for laboratory models. (in Eng). *Modares Civil Engineering Journal*, 13(5), pp.53-63 [In Persian].